

2021年10月27日 京大理学部セミナー

---

# 数値Bootstrap法を用いた 量子力学と行列模型の解析

---

森田 健 (静岡大学)

---

Ref.

2109.08033, 2109.02701, on going work

相川 優 (静岡大学), 吉村 恒太 (University of Notre Dame, USA)  
との共同研究

Anderson-Kruczenski (2016): GWW model, Lattice gauge theory  
 Lin (2020), Kazakov-Zheng (2021): 0dim matrix models  
 Han-Hartnoll-Kruthoff (2020): 1dim QM, Matrix quantum mechanics

# 数値Bootstrap法:

- ✓ 近年提唱された新しい数値解析の手法.
- ✓ これまで0次元や1次元の行列模型や量子力学に適応.
- ✓ Schwinger-Dyson方程式/Heisenberg方程式 + 確率分布の正定値性を解く

## Monte-Carloとの比較 → MCと相補的な関係

	Monte Carlo	Bootstrap
厳密解	NG	広い意味でOK
$N = \infty$	NG	OK
finite-N	OK	Hard
カノニカル分布	OK	NG
ミクロカノニカル	NG	Partially OK
基底状態(T=0)	Hard	OK
$\theta$ -term	Very Hard	Partially OK

Anderson-Kruczenski (2016): GWW model, Lattice gauge theory  
 Lin (2020), Kazakov-Zheng (2021): 0dim matrix models  
 Han-Hartnoll-Kruthoff (2020): 1dim QM, Matrix quantum mechanics

# 数値Bootstrap法:

- ✓ 近年提唱された新しい数値解析の手法.
- ✓ これまで0次元や1次元の行列模型や量子力学に適応.
- ✓ Schwinger-Dyson方程式/Heisenberg方程式 + 確率分布の正定値性を解く

## Monte-Carloとの比較 → MCと相補的な関係

Sec.1

	Monte Carlo	Bootstrap
厳密解	NG	広い意味でOK
$N = \infty$	NG	OK
finite-N	OK	Hard
カノニカル分布	OK	NG
ミクロカノニカル	NG	Partially OK
基底状態(T=0)	Hard	OK
$\theta$ -term	Very Hard	Partially OK

Sec.2

Sec.3

# 1. Review of Bootstrap Approach

# 1. Review of Bootstrap Approach

Anderson-Kruczenski (2016), Lin (2020)  
Han-Hartnoll-Kruthoff (2020)

$$\langle O \rangle = \int dX \rho(X) O(X) \quad \left\{ \begin{array}{l} \rho(X) : \text{probability density} \\ \rho(X) \sim e^{-V(X)} \text{ or } \psi(X)^\dagger \psi(X) \quad H\psi(X) = E\psi(X) \\ O(X) : \text{Observables} \end{array} \right.$$

目標:  $V$ や $H$ の情報から  $\langle O \rangle$  を求めたい.

主に考える系: 量子力学, 行列量子力学, 行列模型(0dim)

- 0次元模型(行列模型)の場合は, 単なる期待値.
- 量子力学の場合はエネルギー固有状態における物理量の期待値.  
(熱平衡状態などに関してはあとで議論)
- 量子力学は経路積分でなくハミルトン形式を考える.

# 1. Review of Bootstrap Approach

Anderson-Kruczenski (2016), Lin (2020)  
Han-Hartnoll-Kruthoff (2020)

$$\langle O \rangle = \int dX \rho(X) O(X) \quad \left\{ \begin{array}{l} \rho(X) : \text{probability density} \\ \rho(X) \sim e^{-V(X)} \text{ or } \psi(X)^\dagger \psi(X) \quad H\psi(X) = E\psi(X) \\ O(X) : \text{Observables} \end{array} \right.$$

If  $\langle O^\dagger O \rangle \geq 0$  is satisfied for  $\forall O$ , we obtain the following relation:

$$\tilde{O} = \sum_{i=1}^K c_i O_i \quad \left\{ \begin{array}{l} \{c_i\} : \text{constants} \\ K : \text{an integer} \sim \text{cut off} \end{array} \right.$$

$$\Leftrightarrow \langle \tilde{O}^\dagger \tilde{O} \rangle = \vec{c}^T M \vec{c} \geq 0 \quad \text{for } \forall \{c_i\}$$

$$\left\{ \begin{array}{l} \vec{c}^T = (c_1, c_2, \dots, c_K) \\ M := \begin{pmatrix} \ddots & \vdots \\ \dots & \langle O_i^\dagger O_j \rangle \dots \\ & \vdots \end{pmatrix} \\ K \times K \text{ matrix} \end{array} \right.$$

$M$ の固有値は**全て非負**

$M$ は**半正定値行列**  
(positive-semidefinite matrix)

$$M \succeq 0$$

$\langle O_i^\dagger O_j \rangle$  is highly constrained!

# 1. Review of Bootstrap Approach

Anderson-Kruczenski (2016), Lin (2020)  
Han-Hartnoll-Kruthoff (2020)

Additional constraints:

$$M = \begin{pmatrix} \ddots & \vdots & \\ \dots & \langle O_i^\dagger O_j \rangle & \dots \\ & \vdots & \end{pmatrix} \quad M \succeq 0$$

$K \times K$  matrix

- $\langle O^\dagger \rangle = \langle O \rangle^*$
- $\langle HO \rangle = \langle OH \rangle = E \langle O \rangle$  (QM)
- $\langle [H, O] \rangle = 0$  (QM)
- Schwinger-Dyson equation (0dim)
- Symmetries  $\langle xx \rangle = \langle yy \rangle$
- $[x, p] = i\hbar$  (QM)

If  $K$  is sufficiently large, possible values of  $\langle O_i^\dagger O_j \rangle$  are highly constrained.

example) 1dim QM

$$\tilde{O} = c_0 1 + c_1 \hat{x} + c_2 \hat{p}$$

$$M = \begin{pmatrix} 1 & \langle x \rangle & \langle p \rangle \\ \langle x \rangle & \langle x^2 \rangle & \langle xp \rangle \\ \langle p \rangle & \langle px \rangle & \langle p^2 \rangle \end{pmatrix}$$

$$M \succeq 0$$

Uncertainty relation

$$\langle \Delta x^2 \rangle \langle \Delta p^2 \rangle \geq \frac{\hbar^2}{4} \quad \text{for } \forall | \quad \rangle$$

# 1. Review of Bootstrap Approach

Anderson-Kruczenski (2016), Lin (2020)  
Han-Hartnoll-Kruthoff (2020)

Additional constraints:

$$M = \begin{pmatrix} \ddots & \vdots \\ \dots & \langle O_i^\dagger O_j \rangle & \dots \\ & \vdots & \end{pmatrix} \quad M \succeq 0$$

$K \times K$  matrix

- $\langle O^\dagger \rangle = \langle O \rangle^*$
- $\langle HO \rangle = \langle OH \rangle = E \langle O \rangle$  (QM)
- $\langle [H, O] \rangle = 0$  (QM)
- Schwinger-Dyson equation (0dim)
- Symmetries  $\langle xx \rangle = \langle yy \rangle$
- $[x, p] = i\hbar$  (QM)

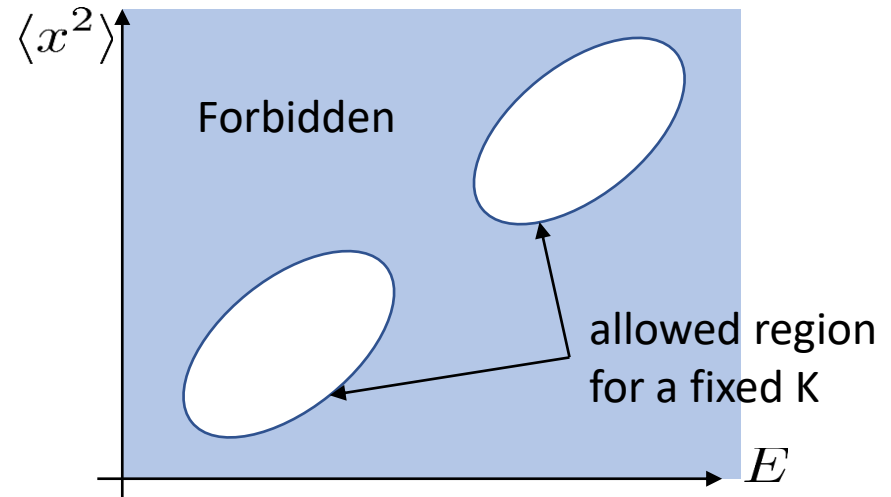
If  $K$  is sufficiently large, possible values of  $\langle O_i^\dagger O_j \rangle$  are highly constrained.

example) 1dim QM

$| \rangle$  :energy eigenstate

ex) 
$$\begin{cases} H = p^2 + x^2 + x^4 \\ O = x^2 \\ \langle HO \rangle = \langle p^2 x^2 \rangle + \langle x^4 \rangle + \langle x^6 \rangle \\ = E \langle x^2 \rangle \end{cases}$$

制約付き最小値問題に帰着





# 1. Review of Bootstrap Approach

Anderson-Kruczenski (2016), Lin (2020)  
Han-Hartnoll-Kruthoff (2020)

Additional constraints:

$$M = \begin{pmatrix} \ddots & \vdots \\ \dots & \langle O_i^\dagger O_j \rangle & \dots \\ & \vdots & \end{pmatrix} \quad M \succeq 0$$

$K \times K$  matrix

- $\langle O^\dagger \rangle = \langle O \rangle^*$
- $\langle HO \rangle = \langle OH \rangle = E \langle O \rangle$  (QM)
- $\langle [H, O] \rangle = 0$  (QM)
- Schwinger-Dyson equation (0dim)
- Symmetries  $\langle xx \rangle = \langle yy \rangle$
- $[x, p] = i\hbar$  (QM)

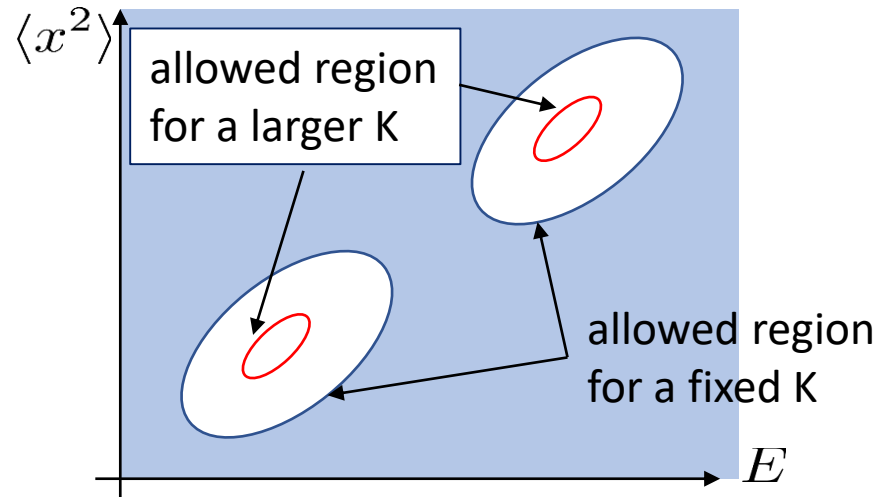
If  $K$  is sufficiently large, possible values of  $\langle O_i^\dagger O_j \rangle$  are highly constrained.

example) 1dim QM

$| \rangle$  :energy eigenstate

ex) 
$$\begin{cases} H = p^2 + x^2 + x^4 \\ O = x^2 \\ \langle HO \rangle = \langle p^2 x^2 \rangle + \langle x^4 \rangle + \langle x^6 \rangle \\ = E \langle x^2 \rangle \end{cases}$$

制約付き最小値問題に帰着



# 1. Review of Bootstrap Approach

Anderson-Kruczenski (2016), Lin (2020)  
Han-Hartnoll-Kruthoff (2020)

Additional constraints:

$$M = \begin{pmatrix} \ddots & \vdots \\ \dots & \langle O_i^\dagger O_j \rangle & \dots \\ & \vdots & \end{pmatrix} \quad M \succeq 0$$

$K \times K$  matrix

- $\langle O^\dagger \rangle = \langle O \rangle^*$
- $\langle HO \rangle = \langle OH \rangle = E \langle O \rangle$  (QM)
- $\langle [H, O] \rangle = 0$  (QM)
- Schwinger-Dyson equation (0dim)
- Symmetries  $\langle xx \rangle = \langle yy \rangle$
- $[x, p] = i\hbar$  (QM)

If  $K$  is sufficiently large, possible values of  $\langle O_i^\dagger O_j \rangle$  are highly constrained.

example) 1dim QM

$| \rangle$  :energy eigenstate

ex)

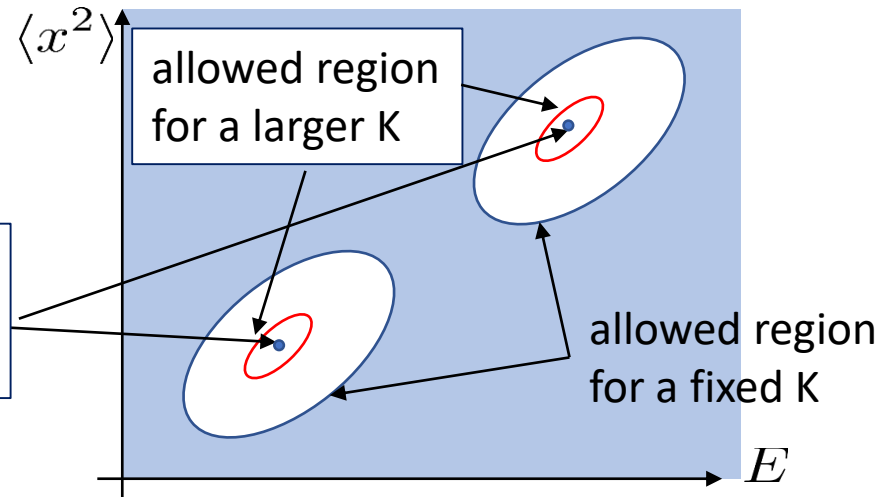
$$H = p^2 + x^2 + x^4$$

$O = x^2$

The values are almost fixed at a sufficiently large  $K$ .

$= E \langle x^2 \rangle$

制約付き最小値問題に帰着

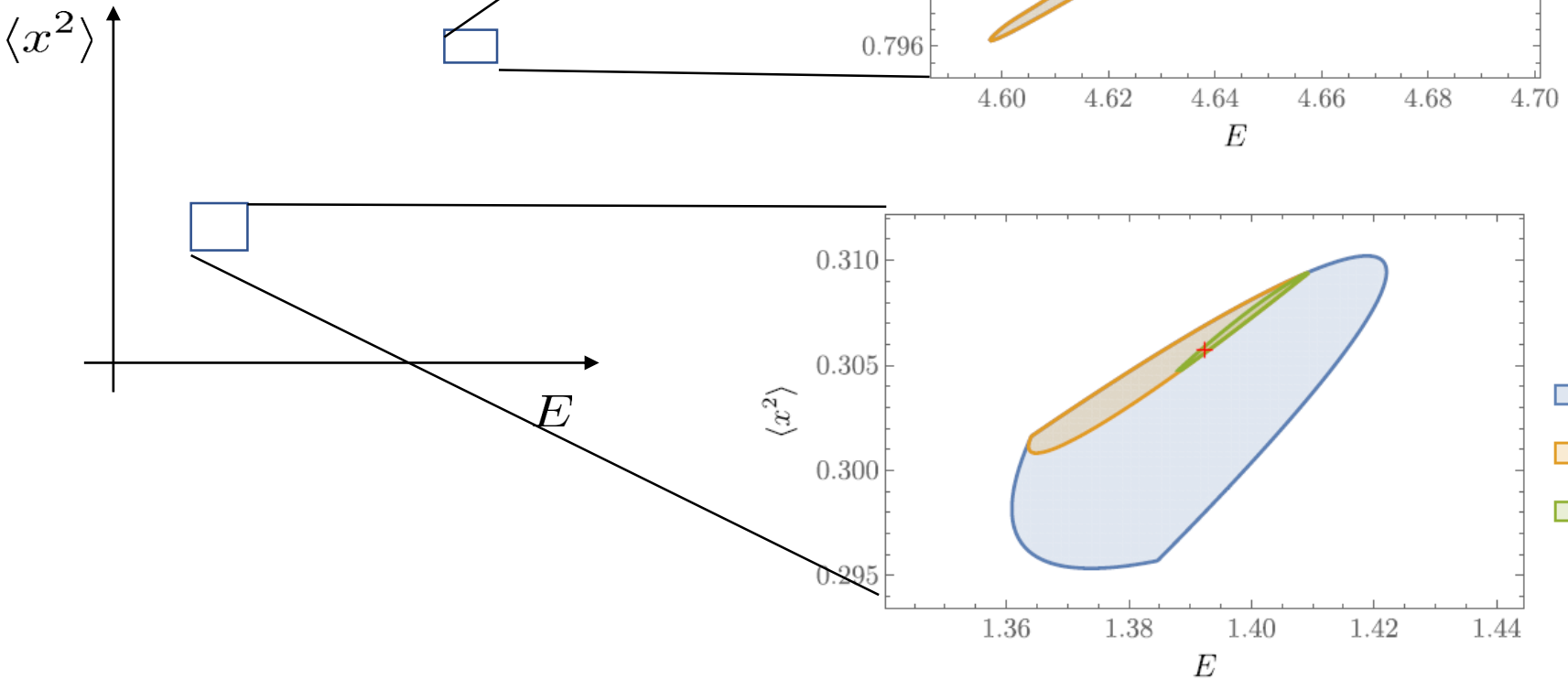


# 1. Review of Bootstrap Approach

Anderson-Kruczenski (2016), Lin (2020)  
Han-Hartnoll-Kruthoff (2020)

example) 1dim QM

$$H = p^2 + x^2 + x^4$$



Figures in Han-Hartnoll-Kruthoff (2020)

# 1. Review of Bootstrap Approach

example) 1dim Harmonic Oscillator Aikawa-Morita-Yoshimura (2021)

$$H = \frac{1}{2} (P^2 + X^2) = a^\dagger a + \frac{1}{2}, \quad \tilde{O} = \sum_{n=0}^K c_n a^n = c_0 + c_1 a + c_2 a^2 + \dots + c_K a^K,$$

$$M = \begin{pmatrix} \ddots & \vdots & & & \\ \dots & \langle O_i^\dagger O_j \rangle & \dots & & \\ & \vdots & & & \end{pmatrix} = \begin{pmatrix} 1 & \langle a \rangle & \langle a^2 \rangle & \dots & \langle a^K \rangle \\ \langle a^\dagger \rangle & \langle a^\dagger a \rangle & \langle a^\dagger a^2 \rangle & \dots & \langle a^\dagger a^K \rangle \\ \langle (a^\dagger)^2 \rangle & \langle (a^\dagger)^2 a \rangle & \langle (a^\dagger)^2 a^2 \rangle & \dots & \langle (a^\dagger)^2 a^K \rangle \\ \vdots & \vdots & \vdots & \ddots & \vdots \\ \langle (a^\dagger)^K \rangle & \langle (a^\dagger)^K a \rangle & \langle (a^\dagger)^K a^2 \rangle & \dots & \langle (a^\dagger)^K a^K \rangle \end{pmatrix}$$

$$O = (a^\dagger)^m a^n$$

$$\begin{cases} \langle [H, O] \rangle = 0 & \longrightarrow (m - n) \langle (a^\dagger)^m a^n \rangle = 0 \\ \langle HO \rangle = E \langle O \rangle & \longrightarrow \langle (a^\dagger)^{m+1} a^{n+1} \rangle = \left( E - m - \frac{1}{2} \right) \langle (a^\dagger)^m a^n \rangle. \end{cases}$$

$$\longrightarrow \begin{cases} \langle (a^\dagger)^m a^n \rangle = 0, & (m \neq n) \\ \langle (a^\dagger)^n a^n \rangle = \prod_{k=0}^{n-1} \left( E - k - \frac{1}{2} \right). \end{cases}$$

# 1. Review of Bootstrap Approach

Anderson-Kruczenski (2016), Lin (2020)  
Han-Hartnoll-Kruthoff (2020)

example) 1dim Harmonic Oscillator Aikawa-Morita-Yoshimura (2021)

$$H = \frac{1}{2} (P^2 + X^2) = a^\dagger a + \frac{1}{2}, \quad \tilde{O} = \sum_{n=0}^K c_n a^n = c_0 + c_1 a + c_2 a^2 + \cdots + c_K a^K,$$

$$\mathcal{M} = \begin{pmatrix} 1 & 0 & 0 & \cdots & 0 \\ 0 & \langle a^\dagger a \rangle & 0 & \cdots & 0 \\ 0 & 0 & \langle (a^\dagger)^2 a^2 \rangle & \cdots & 0 \\ \vdots & \vdots & \vdots & \ddots & \vdots \\ 0 & 0 & 0 & \cdots & \langle (a^\dagger)^K a^K \rangle \end{pmatrix}$$

$$\langle (a^\dagger)^n a^n \rangle = \prod_{k=0}^{n-1} \left( E - k - \frac{1}{2} \right).$$

$\mathcal{M}$ が半正定値行列 = 固有値が全て非負

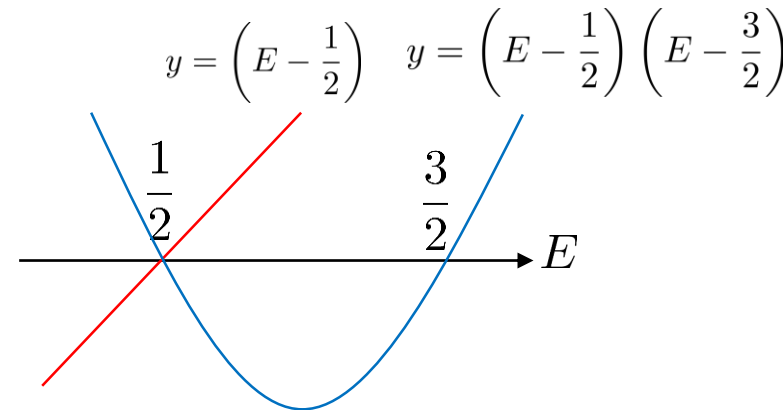
$$K = 1: \langle a^\dagger a \rangle = \left( E - \frac{1}{2} \right) \geq 0 \quad \rightarrow \quad E \geq \frac{1}{2}$$

$$K = 2: \quad E \geq \frac{1}{2}, \quad \left( E - \frac{1}{2} \right) \left( E - \frac{3}{2} \right) \geq 0$$

$$\rightarrow \quad E \geq \frac{3}{2} \quad \text{or} \quad \frac{1}{2}$$

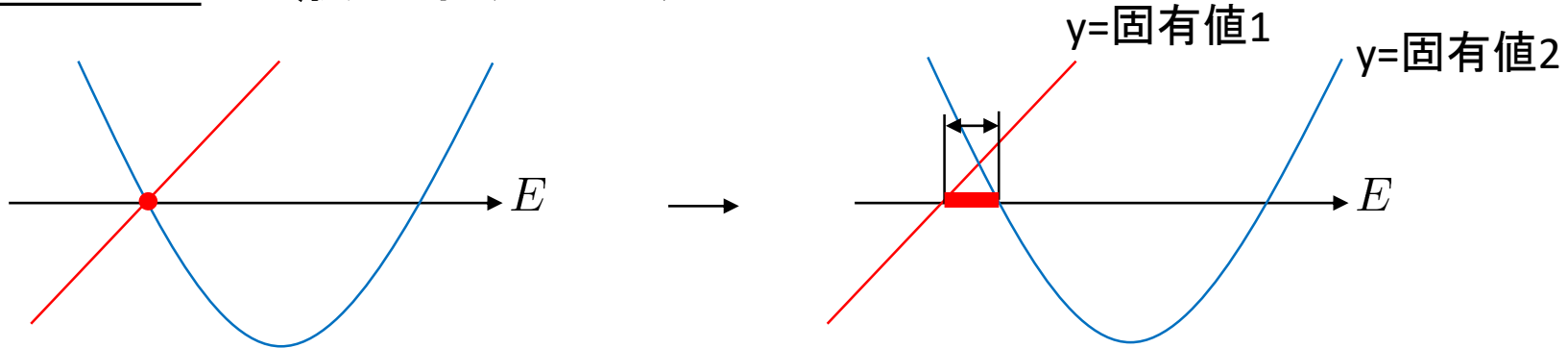
⋮

$$K = \infty: \quad E = n + \frac{1}{2}, \quad \rightarrow \quad \text{厳密解を与える.}$$



# 1. Review of Bootstrap Approach

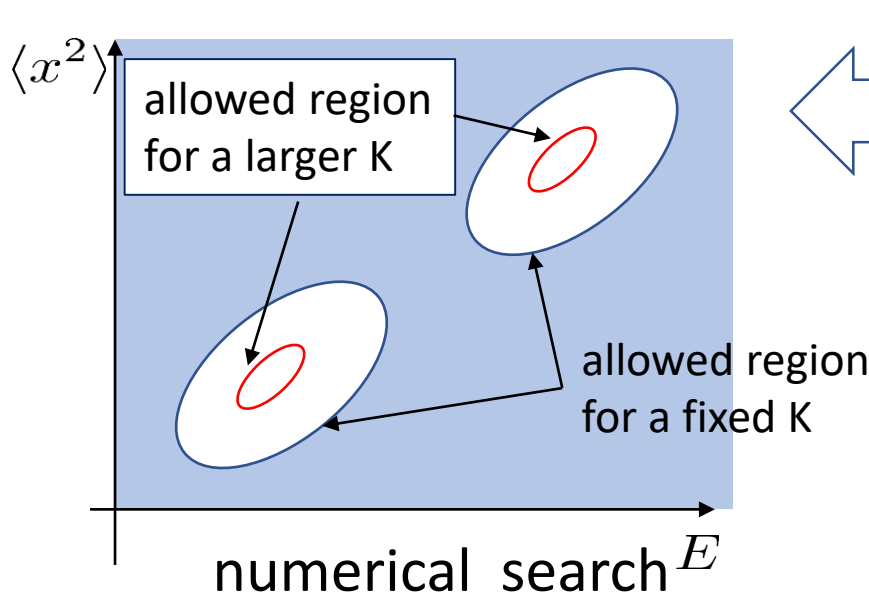
## コメント1: 一般のポテンシャル



Kを増やし, 固有値が増えると  
可能な領域が狭くなって行く.

## コメント2: 変数空間

$$H = p^2 + x^2 + x^4 \quad \langle x^2 \rangle, E \text{ の2変数を考えた.}$$



$$\begin{cases} \langle HO \rangle = \langle OH \rangle = E \langle O \rangle \\ \langle [H, O] \rangle = 0 \end{cases}$$

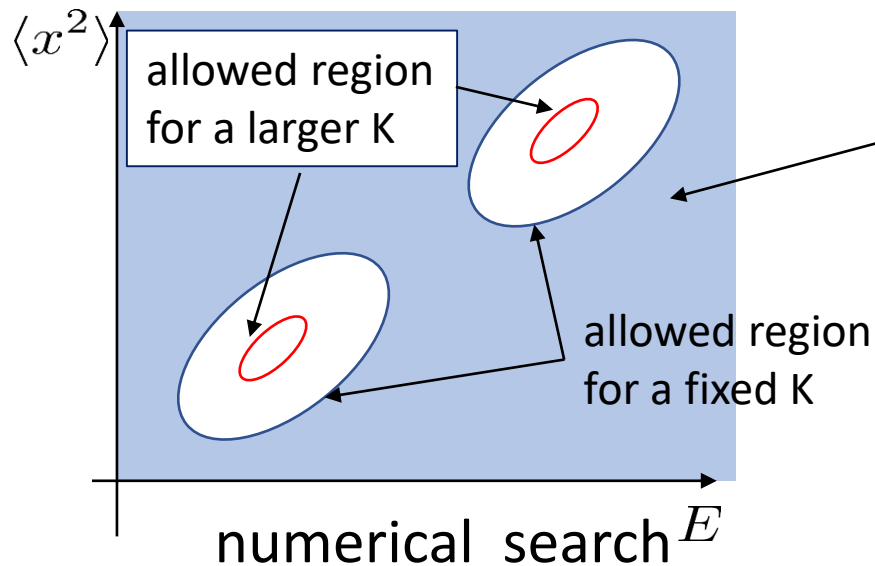
すべての演算子  $\langle x^n p^m \rangle$  が  
 $\langle x^2 \rangle, E$  できまる.  
( $\langle x^2 \rangle, E$  が独立変数)

Hの形により, 独立変数の数が決まる.  
独立変数の数が多すぎる場合は  
Eなど興味のある物理量の範囲のみ注目する.  
(あとで重要)

# 1. Review of Bootstrap Approach

Anderson-Kruczenski (2016), Lin (2020)  
Han-Hartnoll-Kruthoff (2020)

## コメント3: 厳密性



一旦排除された領域は、  
量子力学とinconsistent  
→ 決して許されない。

境界は数値の精度を上げれば  
かなり精緻に決まる。  
→ 乱数に依存しないという意味で  
「厳密」な結果

## コメント4: 厳密解

調和振動子は数値bootstrapで解いても

$$0.499999999... \leq E \leq 0.500000000...$$

→ 「厳密」に  $E=1/2$  とみなせる。他の固有値も同様。

他にも水素原子や行列量子力学

$$H = N \text{Tr} \left( \frac{1}{2} P^2 + \frac{1}{2} X^2 \right), \text{ は厳密解を再現する。}$$

→ 数値Bootstrapで未知の厳密解を発見できる可能性があるかもしれない。

# 1. Review of Bootstrap Approach

Anderson-Kruczenski (2016), Lin (2020)  
Han-Hartnoll-Kruthoff (2020)

## コメント5: 2次元以上の量子力学

Aikawa-Morita-Yoshimura on going work

$$H = p_x^2 + p_y^2 + V(x, y)$$

$$\begin{cases} \langle HO \rangle = \langle OH \rangle = E \langle O \rangle \\ \langle [H, O] \rangle = 0 \end{cases}$$

一般に  $\langle x^k p_x^l y^m p_y^n \rangle$  は他の量で書けるが, 独立変数の数が一定でない.

$$M = \begin{pmatrix} \ddots & \vdots \\ \cdots & \langle O_i^\dagger O_j \rangle \cdots \\ & \vdots \end{pmatrix}$$

$K \times K$  matrix

A個の  $\langle x^k p_x^l y^m p_y^n \rangle$  が独立

$$M' = \begin{pmatrix} \ddots & \vdots \\ \cdots & \langle O_i^\dagger O_j \rangle \cdots \\ & \vdots \end{pmatrix}$$

$K + 1 \times K + 1$  matrix

A'個の  $\langle x^k p_x^l y^m p_y^n \rangle$  が独立

典型的に  $A < A' \rightarrow K$  を大きくとっても解の制限が強くなるか不明(数値的には強くなりそう.)  
 $\rightarrow$  実用上, 基底状態以外を数値bootstrap法で求めるのは難しそう.



# 1. Review of Bootstrap Approach

Large-N matrix models:

例:  $H = N \text{Tr} \left( \frac{1}{2} P^2 + V(X) \right),$

$$H = N \text{Tr} \left( \frac{1}{2} P_X^2 + \frac{1}{2} P_Y^2 + [X, Y]^2 \right)$$

$$\left\{ \begin{array}{l} P, X: N \times N \text{ } U(N) \text{ matrices} \\ [P_{ij}, X_{kl}] = -\frac{i}{N} \delta_{il} \delta_{jk} \end{array} \right.$$

量子力学とほぼ同じ条件

出てくる演算子の種類が量子力学と桁違い

- $M \succeq 0$
- $\langle O^\dagger \rangle = \langle O \rangle^*$
- $\langle HO \rangle = \langle OH \rangle = E \langle O \rangle$  (QM)
- $\langle [H, O] \rangle = 0$  (QM)
- Schwinger-Dyson equation (0dim)
- Symmetries  $\langle \text{tr} X X \rangle = \langle \text{tr} Y Y \rangle$
- $[P_{ij}, X_{kl}] = -\frac{i}{N} \delta_{il} \delta_{jk}$  (QM)

$$\left\{ \begin{array}{l} \frac{1}{N} \langle \text{tr} X X P X P X X \dots \rangle \\ \frac{1}{N^2} \langle \text{tr} X X \text{tr} X X X X \rangle \end{array} \right\} \longleftrightarrow \langle x^n p^m \rangle$$

数値コスト大

# 1. Review of Bootstrap Approach

Anderson-Kruczenski (2016), Lin (2020)  
Han-Hartnoll-Kruthoff (2020)

Large-N matrix models:

例:  $H = N \text{Tr} \left( \frac{1}{2} P^2 + V(X) \right),$   
 $H = N \text{Tr} \left( \frac{1}{2} P_X^2 + \frac{1}{2} P_Y^2 + [X, Y]^2 \right)$

$$\left\{ \begin{array}{l} P, X: N \times N U(N) \text{ matrices} \\ [P_{ij}, X_{kl}] = -\frac{i}{N} \delta_{il} \delta_{jk} \end{array} \right.$$

量子力学とほぼ同じ条件

出てくる演算子の種類が量子力学と桁違い

- $M \succeq 0$
- $\langle O^\dagger \rangle = \langle O \rangle^*$
- ~~$\langle HO \rangle = \langle OH \rangle = E \langle O \rangle$  (QM)~~
- $\langle [H, O] \rangle = 0$  (QM)
- Schwinger-Dyson equation (0dim)
- Symmetries  $\langle \text{tr} X X \rangle = \langle \text{tr} Y Y \rangle$
- $[P_{ij}, X_{kl}] = -\frac{i}{N} \delta_{il} \delta_{jk}$  (QM)

$$\left\{ \begin{array}{l} \frac{1}{N} \langle \text{tr} X X P X P X X \dots \rangle \\ \frac{1}{N^2} \langle \text{tr} X X \text{tr} X X X X \rangle \end{array} \right\} \longleftrightarrow \langle x^n p^m \rangle$$

数値コスト大

**Large-N factorization**  
(注 MQMでは基底状態のみ満たす.)

$$\frac{1}{N^2} \langle \text{tr} X X \rangle \langle \text{tr} X X X X \rangle + O(1/N^2)$$

数値Bootstrapの制限が  
Large-Nですずっと強くなる.

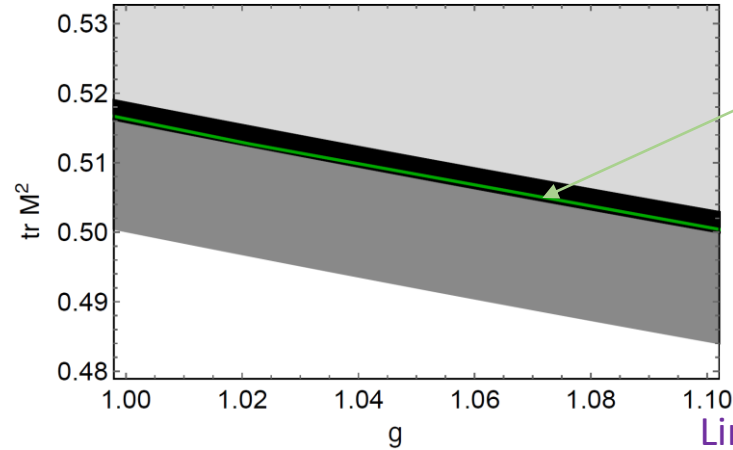
# 1. Review of Bootstrap Approach

Anderson-Kruczenski (2016), Lin (2020)  
Han-Hartnoll-Kruthoff (2020)

example) 0dim Matrix Model

$$\langle \text{tr} M^n \rangle = \int dM e^{-\text{tr} V(M)} \text{tr} M^n$$

$$V(M) = \frac{1}{2} M^2 + \frac{g}{4} M^4$$



厳密解

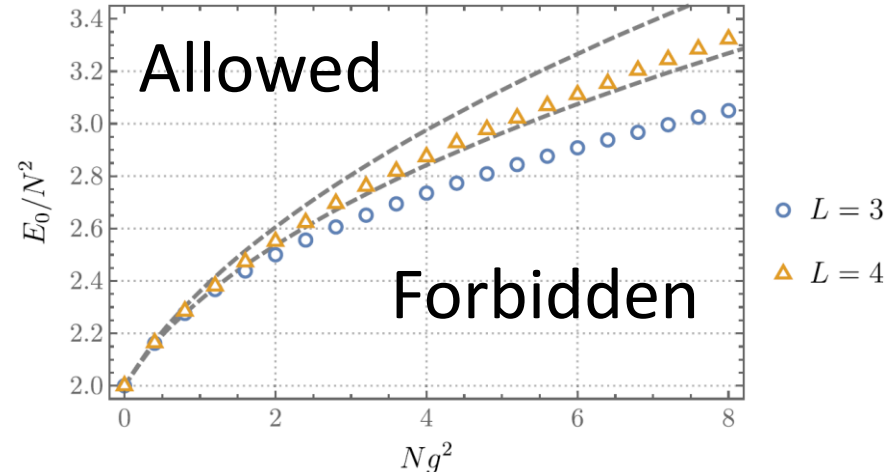
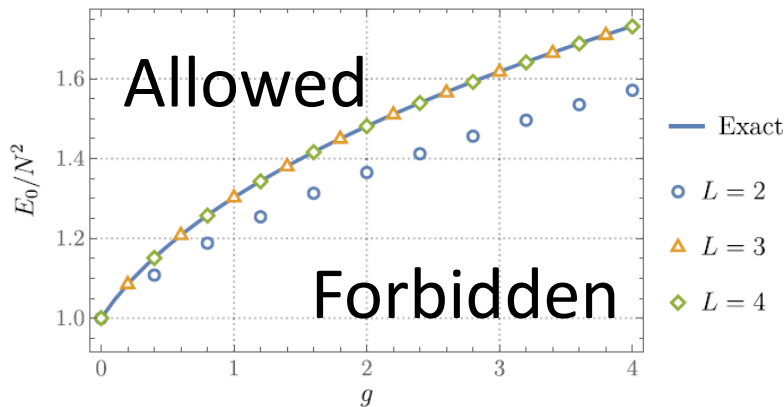
K=6でほぼ  
厳密解と一致

Lin (2020)

example) 1dim Matrix Quantum Mechanics: 基底エネルギー

$$H = \text{tr} P^2 + \text{tr} X^2 + \frac{g}{N} \text{tr} X^4$$

$$H = \text{tr} \{ P_X^2 + P_Y^2 + m^2(X^2 + Y^2) - g^2[X, Y]^2 \}$$



Figures in Han-Hartnoll-Kruthoff (2020)

# 1. Review of Bootstrap Approach

## コメント1: 数値コスト

→  $K$ を大きくしても精度が上がる保証がない.

Single Matrix model (0dim) < 1 dim QM << 2 dim QM << Multi Matrix Models, MQM

$$K=O(10) \\ O = \text{tr}M^n$$

$$K=O(10) \\ O = x^n p^m$$

$$K=O(10) \\ O = x^k p_x^l y^m p_y^n$$

$$K=O(100) \sim \\ O = \text{tr}ABAAB \dots \\ O = \text{tr}XXPXX \dots$$

## コメント2: 数値アルゴリズム

$M \succeq 0$  を満たす最小の  $E$  は?

Positive Semi-definite Matrix problem (半正定値計画問題)



WIKIPEDIA  
The Free Encyclopedia

- Main page
- Contents
- Current events
- Random article
- About Wikipedia
- Contact us
- Donate

Article Talk

### Semidefinite programming

From Wikipedia, the free encyclopedia

**Semidefinite programming (SDP)** is a subfield of [convex optimization](#) concerned with the intersection of the [cone of positive semidefinite matrices](#) with an [affine space](#), i.e.

Semidefinite programming is a relatively new field of optimization which is of growing modeled or approximated as semidefinite programming problems. In automatic control and can be efficiently solved by [interior point methods](#). All [linear programs](#) can be expressed. Semidefinite programming has been used in the [optimization](#) of complex systems. In

実は「最適化問題」で重要な1分野  
→ 結構早いアルゴリズムが多い

Mathematicaでもver12から  
"SemidefiniteOptimization"  
を使用可能.

FindMinimumで1時間かかる問題が  
数十秒で終わったりする.

Anderson-Kruczenski (2016): GWW model, Lattice gauge theory  
 Lin (2020), Kazakov-Zheng (2021): 0dim matrix models  
 Han-Hartnoll-Kruthoff (2020): 1dim QM, Matrix quantum mechanics

# 数値Bootstrap法:

- ✓ 近年提唱された新しい数値解析の手法.
- ✓ これまで0次元や1次元の行列模型や量子力学に適応.
- ✓ Schwinger-Dyson方程式/Heisenberg方程式 + 確率分布の正定値性を解く

## Monte-Carloとの比較 → MCと相補的な関係

Sec.1

	Monte Carlo	Bootstrap
厳密解	NG	広い意味でOK
$N = \infty$	NG	OK
finite-N	OK	Hard
カノニカル分布	OK	NG
ミクロカノニカル	NG	Partially OK
基底状態(T=0)	Hard	OK
$\theta$ -term	Very Hard	Partially OK

Sec.2

Sec.3

## Sec.2 熱平衡状態

## 2. 熱平衡状態

(グランド)カノニカルアンサンブル

Q. この期待値の満たす条件は?

### エネルギー固有状態

- $M \succeq 0$
- $\langle O^\dagger \rangle = \langle O \rangle^*$
- $\langle HO \rangle = \langle OH \rangle = E \langle O \rangle$  (Finite N)
- $\langle [H, O] \rangle = 0$
- Symmetries  $\langle \text{tr} X X \rangle = \langle \text{tr} Y Y \rangle$
- $[P_{ij}, X_{kl}] = -\frac{i}{N} \delta_{il} \delta_{jk}$
- $\langle \text{tr} O_1 \text{tr} O_2 \rangle = \langle \text{tr} O_1 \rangle \langle \text{tr} O_2 \rangle$  (large-N, 基底)

$$\langle O \rangle_\beta = \sum \langle n | e^{-\beta H} O | n \rangle$$

$$\left( \langle O \rangle_{\beta, \mu} = \sum \langle n | e^{-\beta(H - \mu \hat{Q})} O | n \rangle \right)$$

### 熱平衡状態

- $M \succeq 0$
- $\langle O^\dagger \rangle_\beta = \langle O \rangle_\beta^*$
- ~~$\langle HO \rangle = \langle OH \rangle = E \langle O \rangle$~~
- $\langle [H, O] \rangle_\beta = 0$
- Symmetries  $\langle \text{tr} X X \rangle_\beta = \langle \text{tr} Y Y \rangle_\beta$
- $[P_{ij}, X_{kl}] = -\frac{i}{N} \delta_{il} \delta_{jk}$
- $\langle \text{tr} O_1 \text{tr} O_2 \rangle_\beta = \langle \text{tr} O_1 \rangle_\beta \langle \text{tr} O_2 \rangle_\beta$

中心極限定理(?)

- **New!**  $\frac{\partial}{\partial \beta} \langle O \rangle_\beta = E(\beta) \langle O \rangle_\beta - \langle HO \rangle_\beta$

→ 微分方程式は不等式と相性が悪くほぼ使えない。

→ 「温度」の情報をBootstrapに入れられない。

## 2. 熱平衡状態

(グランド)カノニカルアンサンブル

$$\langle O \rangle_\beta = \sum \langle n | e^{-\beta H} O | n \rangle$$

Q. cf. **Eigenstate Thermalization Hypothesis (ETH)**

量子多体系:  $\langle O \rangle_\beta \simeq \langle O \rangle_E \simeq \langle E | O | E \rangle$

canonical ensemble

$$\langle H \rangle_\beta = E$$

Micro-canonical ensemble

**Any energy eigenstate**

「エネルギー固有状態」と「熱平衡状態」はほぼ等価。  
→ 物理量の期待値から両者を区別できないのは自然。

• **new!**  $\frac{\partial}{\partial \beta} \langle O \rangle_\beta = E(\beta) \langle O \rangle_\beta - \langle HO \rangle_\beta$

→ 微分方程式は不等式と相性が悪くほぼ使えない。

→ 「**温度**」の情報をBootstrapに入れられない。



## 2. 熱平衡状態

(グランド)カノニカルアンサンブル

Q. この期待値の満たす条件は?

エネルギー固有状態

- $M \succeq 0$
- $\langle O^\dagger \rangle = \langle O \rangle^*$
- $\langle HO \rangle = \langle OH \rangle = E \langle O \rangle$  (Finite N)
- $\langle [H, O] \rangle = 0$
- Symmetries  $\langle \text{tr} X X \rangle = \langle \text{tr} Y Y \rangle$
- $[P_{ij}, X_{kl}] = -\frac{i}{N} \delta_{il} \delta_{jk}$
- $\langle \text{tr} O_1 \text{tr} O_2 \rangle = \langle \text{tr} O_1 \rangle \langle \text{tr} O_2 \rangle$  (large-N, 基底)

観測量に温度依存性があらわに出現しないのは自然

$$\langle O \rangle_\beta = \sum \langle n | e^{-\beta H} O | n \rangle$$

$$\left( \langle O \rangle_{\beta, \mu} = \sum \langle n | e^{-\beta(H - \mu \hat{Q})} O | n \rangle \right)$$

熱平衡状態

- $M \succeq 0$
- $\langle O^\dagger \rangle_\beta = \langle O \rangle_\beta^*$
- ~~$\langle HO \rangle = \langle OH \rangle = E \langle O \rangle$~~
- $\langle [H, O] \rangle_\beta = 0$
- Symmetries  $\langle \text{tr} X X \rangle_\beta = \langle \text{tr} Y Y \rangle_\beta$
- $[P_{ij}, X_{kl}] = -\frac{i}{N} \delta_{il} \delta_{jk}$
- $\langle \text{tr} O_1 \text{tr} O_2 \rangle_\beta = \langle \text{tr} O_1 \rangle_\beta \langle \text{tr} O_2 \rangle_\beta$

中心極限定理(?)

- **New!**  $\frac{\partial}{\partial \beta} \langle O \rangle_\beta = E(\beta) \langle O \rangle_\beta - \langle HO \rangle_\beta$

→ 微分方程式は不等式と相性が悪くほぼ使えない。

→ 「温度」の情報をBootstrapに入れられない。

## 2. 熱平衡状態

(グランド)カノニカルアンサンブル

Q. この期待値の満たす条件は?

温度依存性はあきらめ、

$$\langle H \rangle_\beta = E$$

$$\left[ \langle \hat{Q} \rangle_{\beta, \mu} = Q \right]$$

という条件を課し、

micro-canonical アンサンブル  
として熱平衡状態を評価する

観測量に温度依存性が  
あらわに出現しないのは自然

$$\langle O \rangle_\beta = \sum \langle n | e^{-\beta H} O | n \rangle$$

$$\left( \langle O \rangle_{\beta, \mu} = \sum \langle n | e^{-\beta(H - \mu \hat{Q})} O | n \rangle \right)$$

### 熱平衡状態

- $M \succeq 0$
- $\langle O^\dagger \rangle_\beta = \langle O \rangle_\beta^*$
- ~~$\langle HO \rangle = \langle OH \rangle = E \langle O \rangle$~~
- $\langle [H, O] \rangle_\beta = 0$
- Symmetries  $\langle \text{tr} X X \rangle_\beta = \langle \text{tr} Y Y \rangle_\beta$
- $[P_{ij}, X_{kl}] = -\frac{i}{N} \delta_{il} \delta_{jk}$
- $\langle \text{tr} O_1 \text{tr} O_2 \rangle_\beta = \langle \text{tr} O_1 \rangle_\beta \langle \text{tr} O_2 \rangle_\beta$

中心極限定理(?)

- ~~New!  $\frac{\partial}{\partial \beta} \langle O \rangle_\beta = E(\beta) \langle O \rangle_\beta - \langle HO \rangle_\beta$~~

→ 微分方程式は不等式と相性が悪くほぼ使えない。

→ 「温度」の情報をBootstrapに入れられない。

## 2. 熱平衡状態

(グランド)カノニカルアンサンブル

Q. この期待値の満たす条件は?

温度依存性はあきらめ,

$$\langle H \rangle_\beta = E$$

$$\left[ \langle \hat{Q} \rangle_{\beta, \mu} = Q \right]$$

という条件を課し,

micro-canonical アンサンブル  
として熱平衡状態を評価する

観測量に温度依存性が  
あらわに出現しないのは自然

$$\langle O \rangle_\beta = \sum \langle n | e^{-\beta H} O | n \rangle$$

$$\left( \langle O \rangle_{\beta, \mu} = \sum \langle n | e^{-\beta(H - \mu \hat{Q})} O | n \rangle \right)$$

熱平衡状態

具体例

- 自由粒子 (量子力学)
- Bosonic BFSS at  $J=0$
- Bosonic BFSS at  $J \neq 0$   
(符号問題)

• New!  $\frac{\partial}{\partial \beta} \langle O \rangle_\beta = E(\beta) \langle O \rangle_\beta - \langle HO \rangle_\beta$

→ 微分方程式は不等式と相性が悪くほぼ使えない。

→ 「温度」の情報をBootstrapに入れられない。

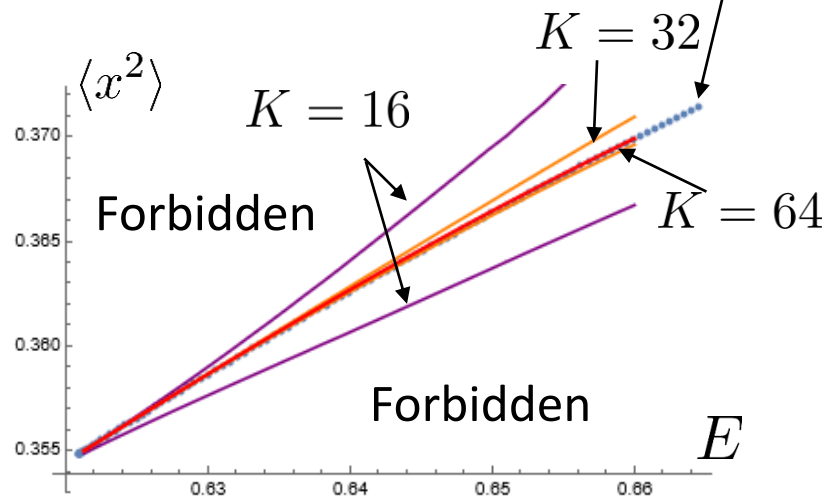
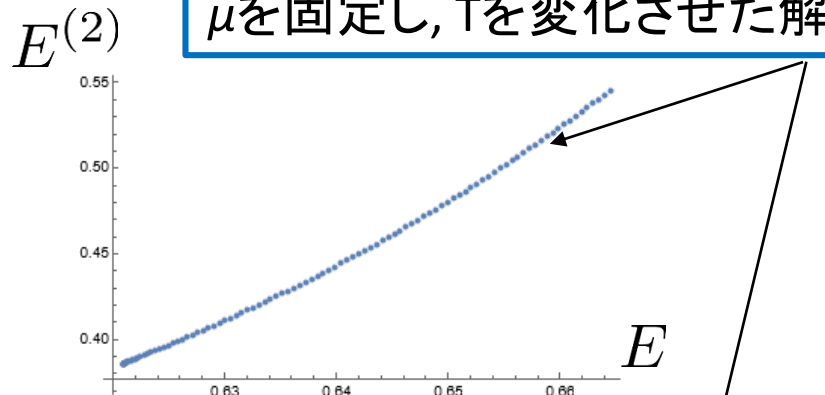
# 2. 熱平衡状態

例1) 1次元自由ボーズ粒子

$$H = \frac{1}{2}p^2 + \frac{1}{2}x^2 + \frac{1}{4}x^4$$

$$\langle O \rangle_{\beta, \mu} = \frac{1}{N(\beta, \mu)} \sum_n \frac{1}{e^{\beta(E_n - \mu)} - 1} \langle n | O | n \rangle$$

数值的に固有値を求め  
 $\mu$ を固定し,  $T$ を変化させた解析



注: この系は無限個の保存量

$$E^{(m)} := \frac{1}{N(\beta, \mu)} \sum_n \frac{1}{e^{\beta(E_n - \mu)} \pm 1} (E_n)^m$$

暗に,  $\beta, \mu$  以外の無限個の化学ポテンシャルを全て0にしている。

Bootstrapの解析

$$M \succeq 0$$

$$\langle [H, O] \rangle_{\beta, \mu} = 0$$

$$\langle 1 \rangle_{\beta, \mu} = 1$$

$$\langle H \rangle_{\beta, \mu} = E$$

$$\langle H^2 \rangle_{\beta, \mu} = E^{(2)}$$

粒子1個あたりの  
期待値に規格化

無限個の保存量の  
うち3個だけ固定した

→ 数値解析と良い一致が見られる。

## 2. 熱平衡状態

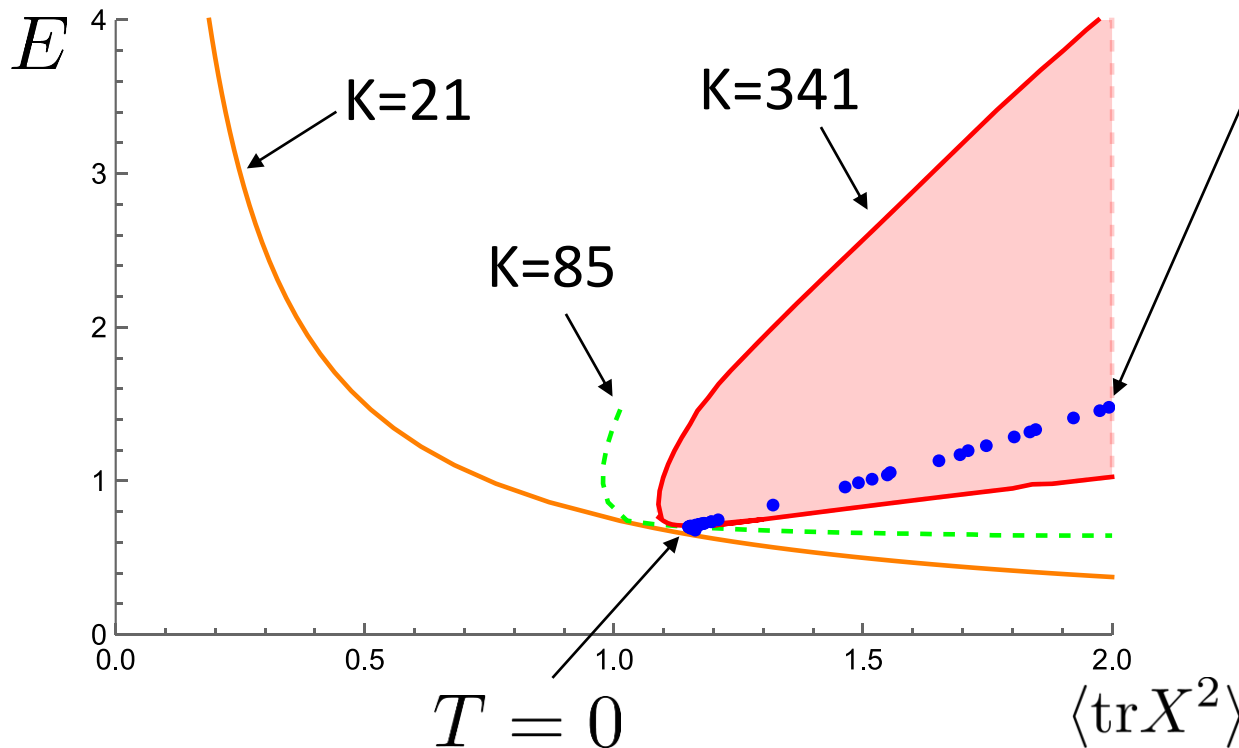
例2) 有限温度 Bosonic BFSS matrix model  
(Large-N reduction of D+1-dim YM to 1dim.)

Banks-Fischler-Shenker-Susskind (1996)

Han-Hartnoll-Kruthoff (2020)

$$H = \text{tr} \left( \frac{1}{2} P_I^2 - \sum_{I,J} \frac{1}{4} [X^I, X^J]^2 \right) \quad I, J = 1, \dots, D$$

Preliminary result at D=2



モンテ・カルロ (N=32)  
(東氏(摂南大)提供)

Aharony-Marsano-Minwalla-Wiseman 2002

Kawahara-Nishimura-Takeuchi 2007

Azuma-Morita-Takeuchi 2014

- 収束性がまだ悪い
- T=0はよく収束

## 2. 熱平衡状態

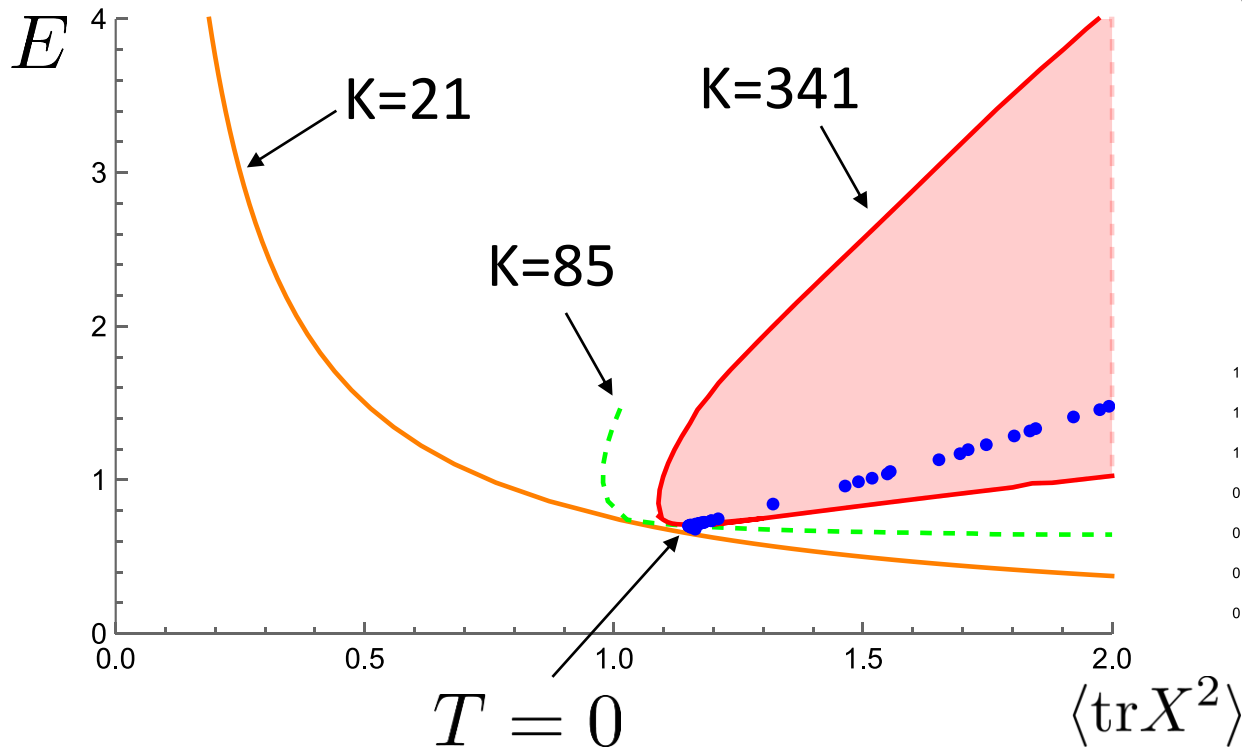
例2) 有限温度 Bosonic BFSS matrix model  
(Large-N reduction of D+1-dim YM to 1dim.)

Banks-Fischler-Shenker-Susskind (1996)

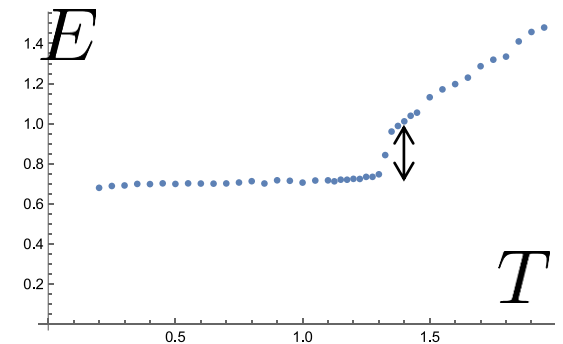
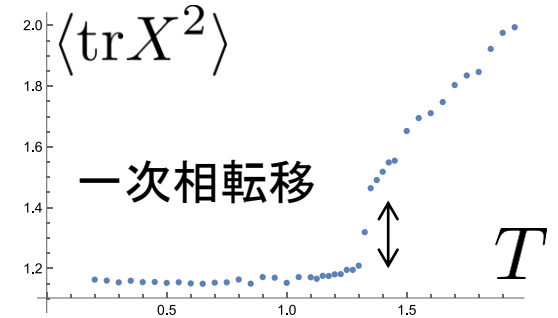
Han-Hartnoll-Kruthoff (2020)

$$H = \text{tr} \left( \frac{1}{2} P_I^2 - \sum_{I,J} \frac{1}{4} [X^I, X^J]^2 \right) \quad I, J = 1, \dots, D$$

Preliminary result at D=2



モンテ・カルロ (N=32)

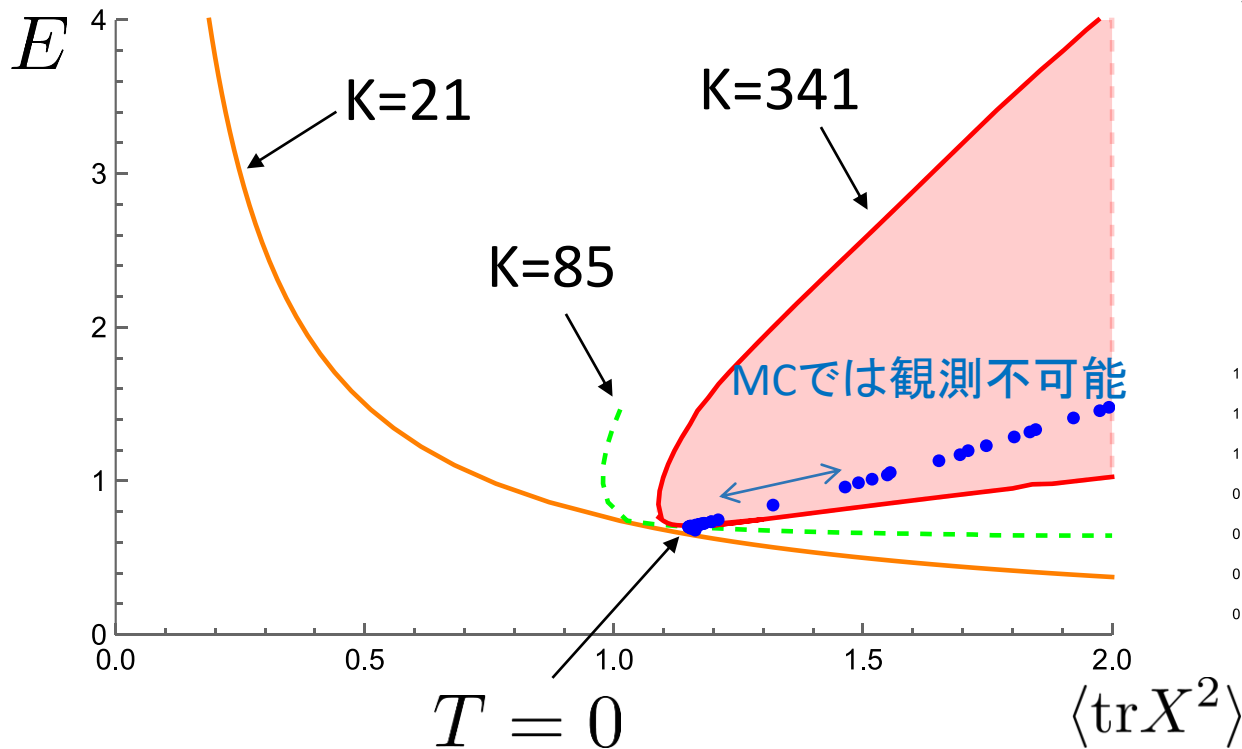


## 2. 熱平衡状態

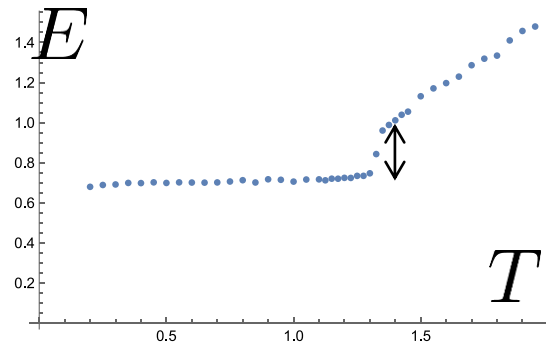
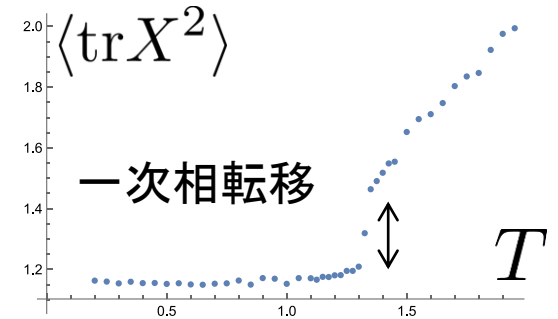
Bootstrap法の利点:

Micro-canonicalアンサンブルが調べられる(かも)

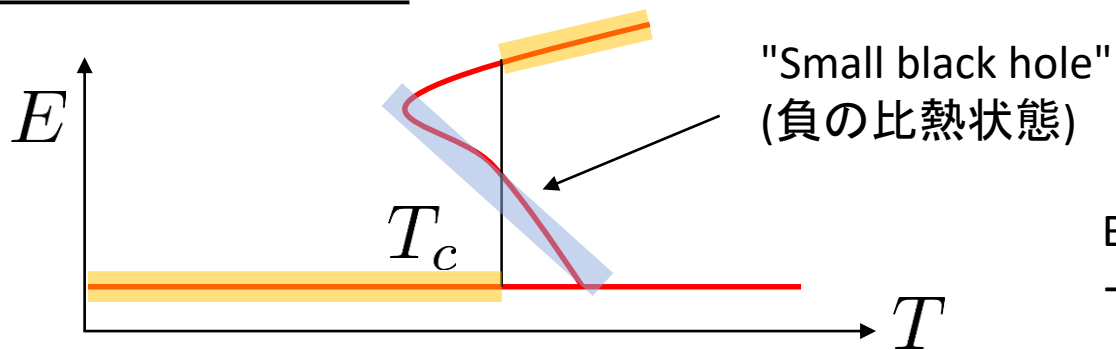
Preliminary result at D=2



モンテ・カルロ (N=32)

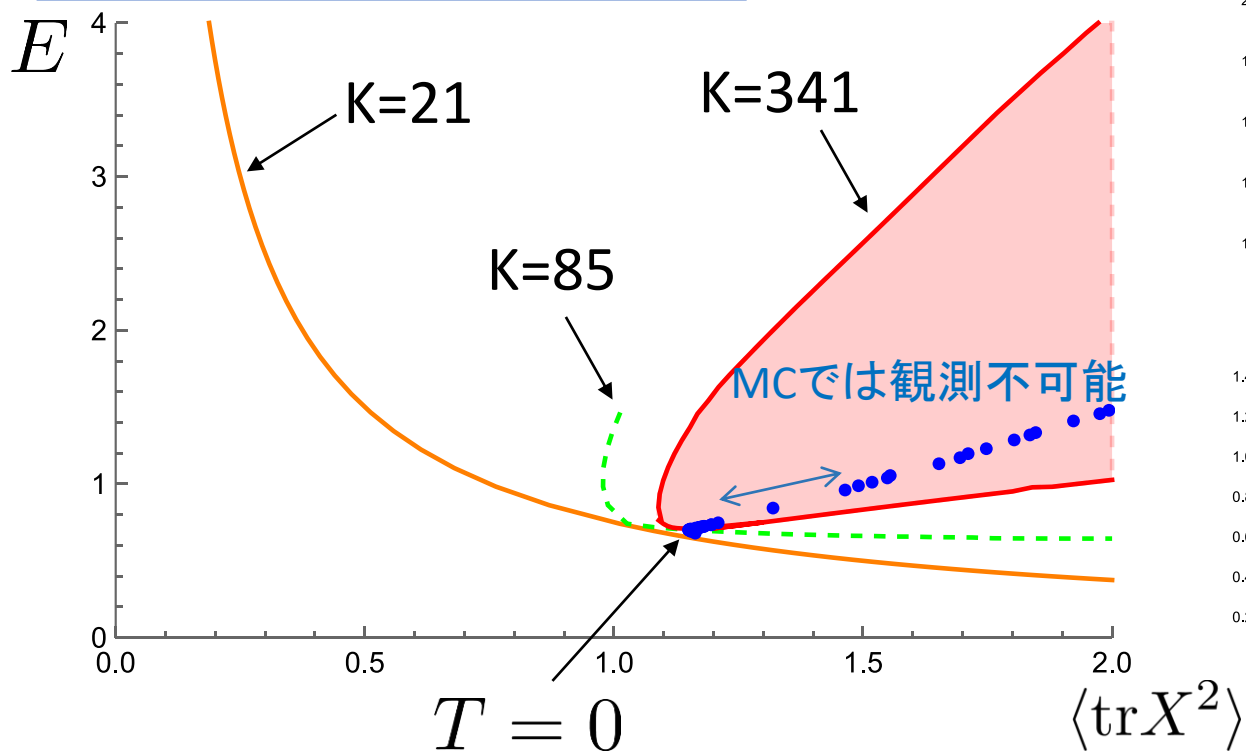


# 2. 熱平衡状態

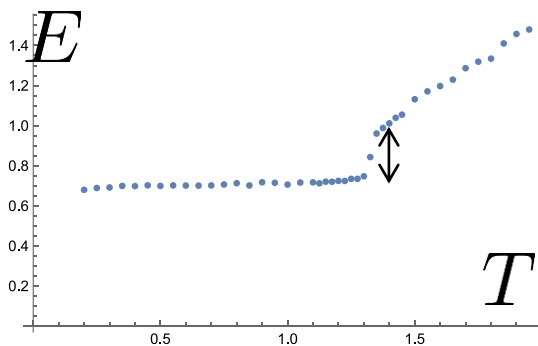
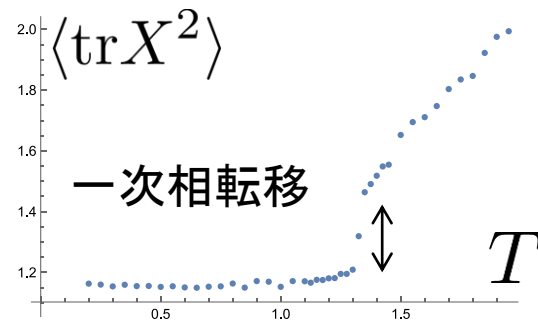


Bootstrapでは原理的に観測可能  
→ 数値が収束すれば  
興味深い物理が見えるかも。

Preliminary result at D=2



モンテ・カルロ (N=32)





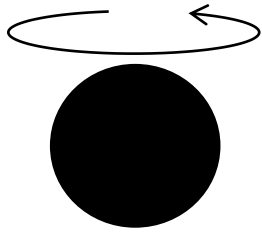
## 2. 熱平衡状態

例3) 有限温度 Bosonic BFSS matrix model with finite  $J$

$$H = \text{tr} \left( \frac{1}{2} P_I^2 - \sum_{I,J} \frac{1}{4} [X^I, X^J]^2 \right)$$

Angular momentum

$$J = \langle \text{tr} X_1 P_2 - X_2 P_1 \rangle$$



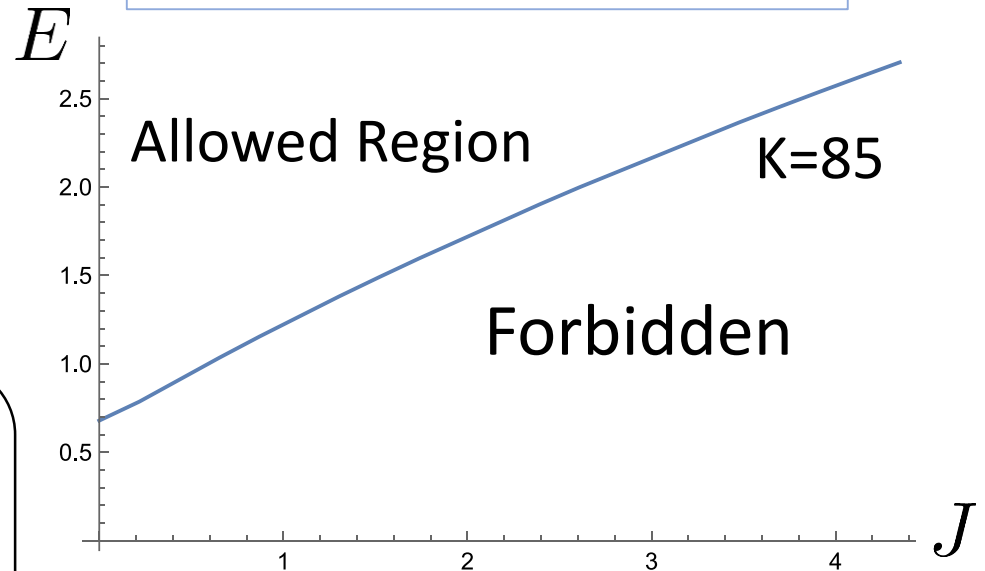
cf. rotating black hole

注) chemical potential

$$L = \text{tr} \left( \frac{(D_t - \mu) Z^\dagger (D_t + \mu) Z}{\rightarrow \text{符号問題}} - \sum_{I,J=1}^2 \frac{1}{4} [X^I, X^J]^2 \right)$$

$$Z = (X_1 + iX_2)/\sqrt{2}$$

Preliminary results at  $D=2$



## 2. 熱平衡状態

### ○ その他の量

#### Entropy, Temperature, Free energy?

Bootstrap only determines the values of  $\langle E|O|E\rangle$ .

→ ??

#### Polyakov loop?

→ ??

#### Real time evolution?

Heisenberg equation:  $i\hbar\langle\dot{O}\rangle = \langle[O, H]\rangle$

“Time” enters only through derivatives.

→ Difficult...

Anderson-Kruczenski (2016): GWW model, Lattice gauge theory  
 Lin (2020), Kazakov-Zheng (2021): 0dim matrix models  
 Han-Hartnoll-Kruthoff (2020): 1dim QM, Matrix quantum mechanics

# 数値Bootstrap法:

- ✓ 近年提唱された新しい数値解析の手法.
- ✓ これまで0次元や1次元の行列模型や量子力学に適応.
- ✓ Schwinger-Dyson方程式/Heisenberg方程式 + 確率分布の正定値性を解く

## Monte-Carloとの比較 → MCと相補的な関係

Sec.1

	Monte Carlo	Bootstrap
厳密解	NG	広い意味でOK
$N = \infty$	NG	OK
finite-N	OK	Hard
カノニカル分布	OK	NG
ミクロカノニカル	NG	Partially OK
基底状態(T=0)	Hard	OK
$\theta$ -term	Very Hard	Partially OK

Sec.2

Sec.3

# 3. $\theta$ -term

### 3. $\theta$ -term Aikawa-Morita-Yoshimura (2021)

$\theta$ -term ?

$$\frac{N}{\lambda} \int d^4x \text{tr} F^2 + \theta \int \text{tr} F \wedge F \quad (0 \leq \theta < 2\pi)$$

ユークリッド化で純虚数  $\rightarrow$  sign problem in MC

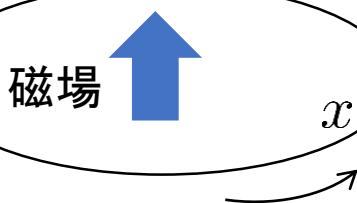
4次元YMはまだきついで量子力学のtoy model (S1上の量子力学):

$$S(\theta) = \int dt \left( \frac{1}{2} \dot{x}^2 - V(x) \right) - \frac{\theta}{2\pi} \int dt \dot{x}, \quad x = x + 2\pi$$

$$V(x) = a(1 - \cos(x)).$$

ユークリッド化で純虚数  
 $\rightarrow$  sign problem in MC

cf. AB効果



ゲージポテンシャル

$$A_x = \frac{\theta}{2\pi}$$

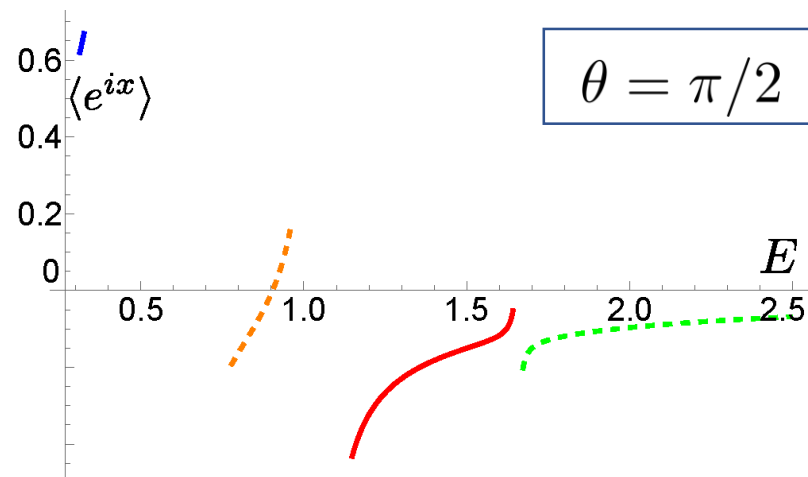
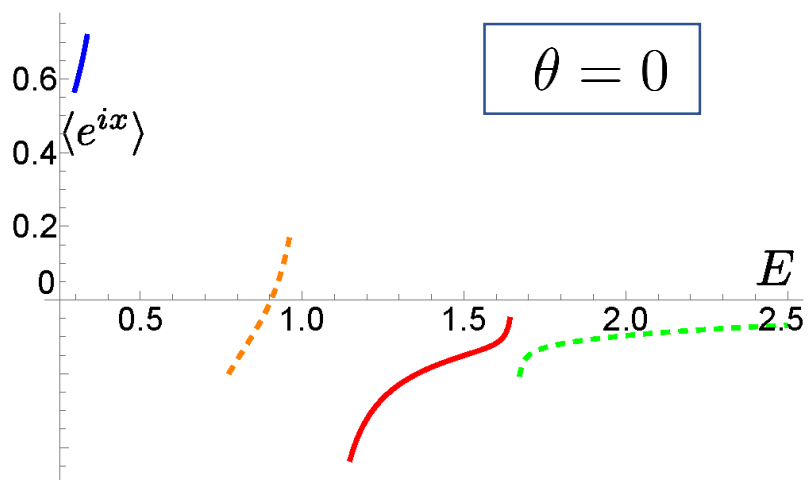
$$\longrightarrow H(\theta) := \frac{1}{2} \left( p + \frac{\theta}{2\pi} \right)^2 - a(\cos(x) - 1)$$

Bootstrap法が適応できる.

### 3. $\theta$ -term Aikawa-Morita-Yoshimura (2021)

$$H(\theta) := \frac{1}{2} \left( p + \frac{\theta}{2\pi} \right)^2 - a(\cos(x) - 1)$$

数値Bootstrapの結果:



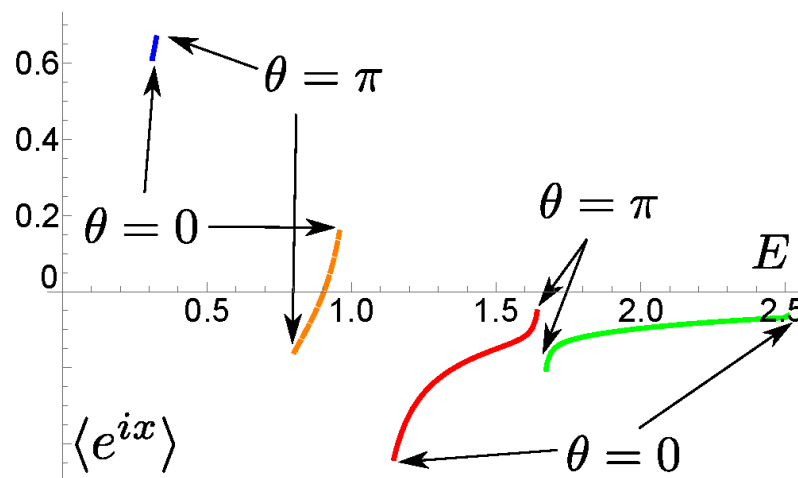
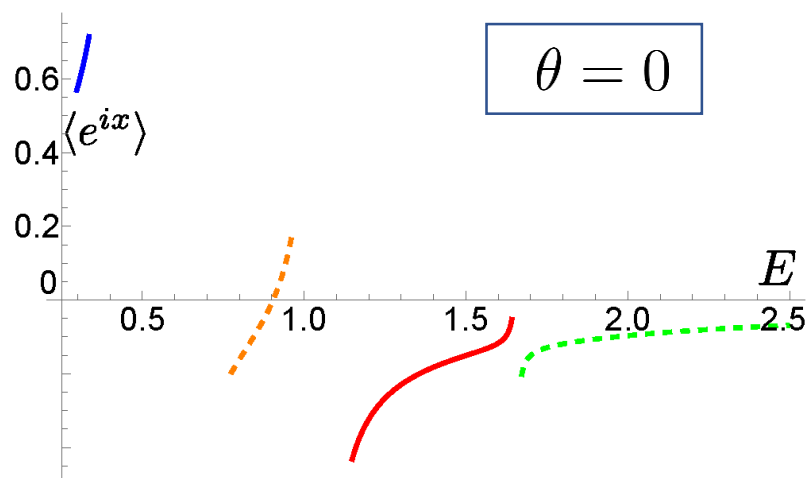
- Bootstrapの結果が「線」に収束  
→ 固有状態なら「点」に収束するはず?
- なぜか結果が $\theta$ にほとんど依らない.

### 3. $\theta$ -term Aikawa-Morita-Yoshimura (2021)

$$H(\theta) := \frac{1}{2} \left( p + \frac{\theta}{2\pi} \right)^2 - a(\cos(x) - 1)$$

数値Bootstrapの結果:

シュレディンガー方程式を直接解いた結果:



- Bootstrapの結果が「線」に収束  
→ 固有状態なら「点」に収束するはず?
- なぜか結果が $\theta$ にほとんど依らない.

全ての $\theta$ の結果が, Bootstrapでは各 $\theta$ に対して一度に得られてしまった. (ちょっと悪い結果)

### 3. $\theta$ -term

Aikawa-Morita-Yoshimura (2021)

$$H(\theta) := \frac{1}{2} \left( p + \frac{\theta}{2\pi} \right)^2 - a(\cos(x) - 1)$$

何が起きたのか?

$$H(\theta) = e^{-i\frac{\theta}{2\pi}x} H(0) e^{i\frac{\theta}{2\pi}x}$$
$$\left\{ \begin{array}{l} H(\theta)\psi(x) = E\psi(x) \\ \psi(x + 2\pi) = \psi(x) \end{array} \right\} \xleftrightarrow{\text{gauge equivalent}} \left\{ \begin{array}{l} H(0)\psi(x) = E\psi(x) \\ \psi(x + 2\pi) = e^{i\theta}\psi(x) \end{array} \right.$$

→ 波動関数の**周期性**を決めなければ、  
ハミルトニアンの中の **$\theta$ の値は定まらない**.  
(ゲージ固定が必要)

Bootstrap法では  $\langle p \rangle$ ,  $\langle e^{ix} \rangle$ ,  $E$  と言った観測量の**取り得る値の範囲**を調べた.

→ 波動関数の周期性の情報が入っていない.

→ 全ての **$\theta$** に対応した結果が得られた.

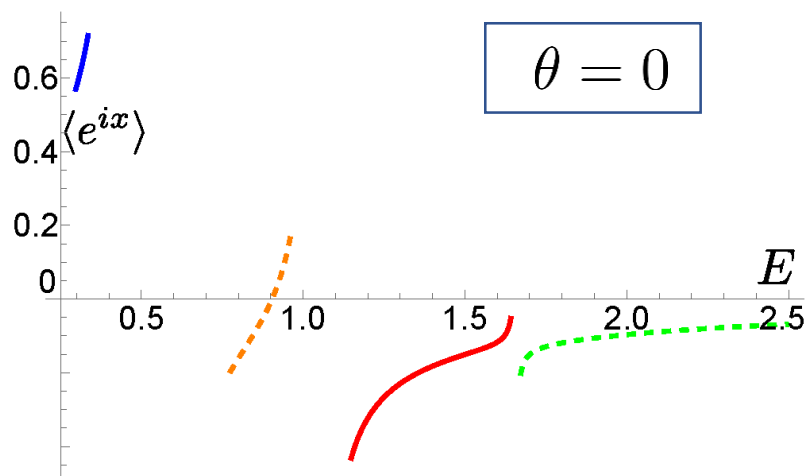


### 3. $\theta$ -term Aikawa-Morita-Yoshimura (2021)

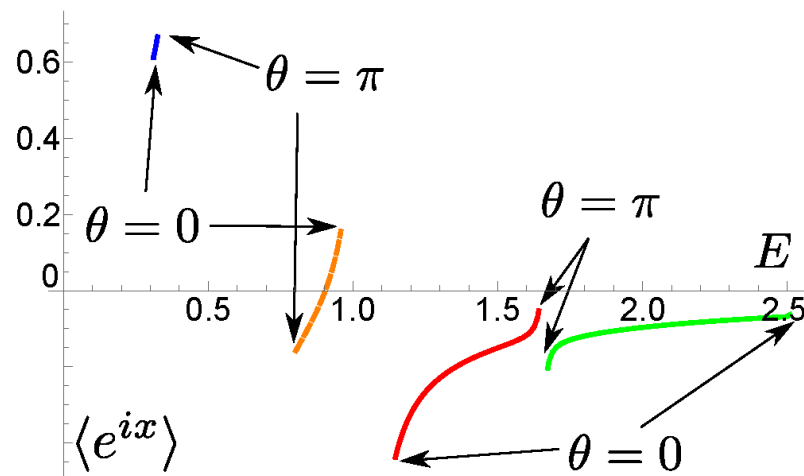
$$H(\theta) := \frac{1}{2} \left( p + \frac{\theta}{2\pi} \right)^2 - a(\cos(x) - 1)$$

→ これはあまりうれしくない結果

数値Bootstrapの結果:



シュレディンガー方程式を直接解いた結果:



- Bootstrapでは  $E(\theta)$  などは計算できない.
- ただし  $\langle e^{ix} \rangle(E)$  などの物理量の相関は求まる.
- $\theta = 0, \pi$  は特別で対称性から  $E(\theta = 0)$ ,  $E(\theta = \pi)$  など求まる.

注) Bootstrapで波動関数の周期性を求める試みもある.

$\langle e^{i2\pi p} \rangle$ : 周期性を読み取る演算子

# Summary

Anderson-Kruczenski (2016): GWW model, Lattice gauge theory  
 Lin (2020), Kazakov-Zheng (2021): 0dim matrix models  
 Han-Hartnoll-Kruthoff (2020): 1dim QM, Matrix quantum mechanics

# 数値Bootstrap法:

- ✓ 近年提唱された新しい数値解析の手法.
- ✓ これまで0次元や1次元の行列模型や量子力学に適応.
- ✓ Schwinger-Dyson方程式/Heisenberg方程式 + 確率分布の正定値性を解く

## Monte-Carloとの比較 → MCと相補的な関係

	Monte Carlo	Bootstrap
厳密解	NG	広い意味でOK
$N = \infty$	NG	OK
finite-N	OK	Hard
カノニカル分布	OK	NG
ミクロカノニカル	NG	Partially OK
基底状態(T=0)	Hard	OK
$\theta$ -term	Very Hard	Partially OK

# Summary

- Bootstrap法は, かなりクセのある数値解析
- 示強性の量が苦手. (温度, 化学ポテンシャル,  $\theta$ )
- 示量性の量は得意.

# Future Direction

- Improve Numerical Analysis [Kazakov-Zheng \(2021\)](#)
- Canonical-ensemble, real time  $\rightarrow$  Need some breakthrough
- Many applications:
  - ✓ Small black holes, Rotating black holes, (black rings?)  
[Anagnostopoulos-Hanada -Nishimura-Takeuchi \(2008\)](#)
  - ✓ BFSS matrix theory (符号問題)  
[Kim-Nishimura-Tsuchiya \(2012\)](#)
  - ✓ IKKT matrix model (符号問題)  
[Anderson-Kruczenski \(2016\)](#)
  - ✓ Higher dimensions? Lattice gauge theories?